EX I: AGREG INTERNE SCIENCES PHYSIQUE 2008

- 1. $T = f(x_A)$: courbe d'ébullition; $T = f(y_A)$: courbe de rosée.
- 2. On lit sur le diagramme $T_A^*=90^{\circ}C > T_B^*=77^{\circ}C \Rightarrow \underline{\textbf{B est le plus volatil}}$ car bout à une température plus basse, donc $\textbf{P}_B^*>\textbf{P}_A^*$ à T donnée.
- 3. Mélange idéal : mélange où les interactions intermoléculaires A/A, B/B et A/B sont de même nature et de même ordre de grandeur énergétique. On observe un diagramme à 1 fuseau, <u>fin et symétrique</u> ⇒ le mélange est idéal.
- 4. $Z_A = 16.00/(16.00+4.00)=0.800$, on peut alors déterminer les abscisses de M^L et M^V sur le diagramme : $x_A = 0.88$ et $y_A = 0.75$

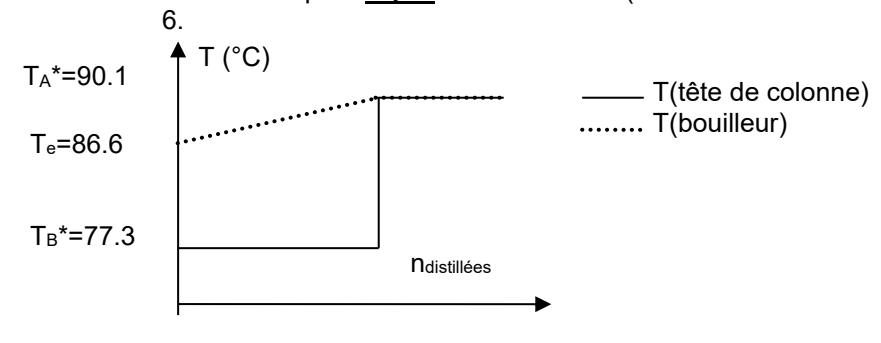
Le th. Des moments est alors $n_VM^VM=n_LMM^L$ soit $n_V(0.80-0.75)=n_L(0.88-0.80)$

Ou encore $n_v = 1.6 n_L \text{ et } n_v + n_L = 20.00 \text{mol}$

 \Rightarrow n_L =7.7 mol et n_V=12.3 mol

\Rightarrow $\underline{n_{AL}} = x_A \times \underline{n_L} = 6.8 \text{ mol}$; $\underline{n_{BL}} = 0.92 \text{ mol}$; $\underline{n_{AV}} = y_A \times \underline{n_V} = 9.2 \text{ mol}$ et $\underline{n_{BV}} = 3.1 \text{ mol}$

5. On récupère **B pur** dans le distillat (on descend les marches).



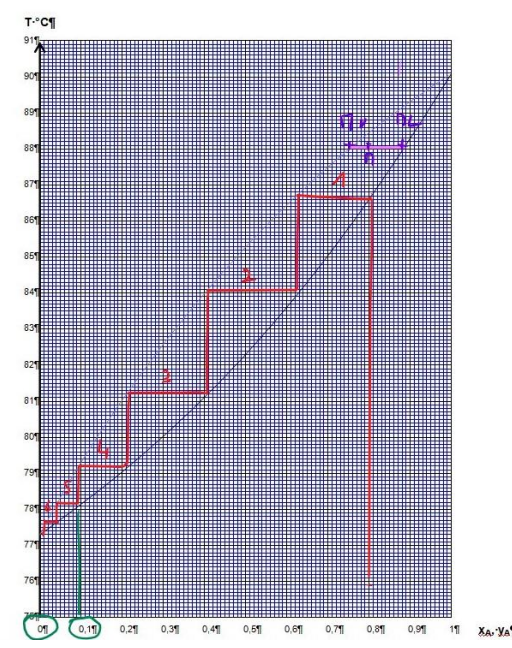
Si la colonne est assez haute :

Au début on distille B, puis lorsque tout B est distillé, il ne reste que du A Le résidu commence à bouillir à Te, sa composition et sa T évolue

en remontant continument la courbe d'ébullition : T évolue continument de Te à T_A*.

7. On lit sur le diagramme environ <u>4 plateaux théoriques</u>

 On lit sur le diagramme environ 4 plateaux théoriques pour arriver à un distillat de composition y_A=0.1. Pour une séparation totale il faut 6-7 plateaux.



- 8. . Le mélange n'est <u>pas idéal</u> car il y a <u>un homoazéotrope</u> ; c'est prévisible car l'interaction entre 2 molécules de méthanol est principalement assurée par des liaisons hydrogène, pour 2 molécules de butanone (molécule polaire) ce sont des liaisons de Van der Waals de type Keesom, Debye et London, enfin 1 molécule de méthanol et 1 molécule de butanone sont liées par 1 liaison hydrogène. <u>Les interactions n'étant pas de nature identique</u>, le mélange n'est pas idéal.
- 9. C'est l'homoazéotrope : en ce point il y a 2 constituants et la composition de la phase vapeur est la même que celle de la phase liquide (une relation), il y a deux phases qui contiennent chacune les 2 constituants chimiques

Var	Contraintes	Contraintes	Contraintes	V'
intensives	chimiques	physique	supplémentaires	
T, P, x ₁ , x ₂ , P ₁ , P ₂	$ A_1^{L} \leftrightarrows A_1^{V} $ $ K_1 = P_1/(x_1P^{\circ}) $ $ \bullet A_2^{L} \leftrightarrows A_2^{V} $ $ K_2 = P_2/(x_2P^{\circ}) $	$X_1 + X_2 = 1$ $P_1 + P_2 = 1$	X ₁ = y ₁ = P ₁ /P P fixée	6-2-2-2=0

<u>Ce mélange bout à une température qui est fixée par la nature</u> (il n'y a plus aucun degré de liberté à P fixée).

- 10. L'homoazéotrope se comporte « presque » comme un corps pur puisqu'il bout à T et composition constante à P fixée, mais sa composition dépend de la pression imposée.
- 11. Dans la colonne 1 le distillat D_1 est l'homoazéotrope sous P=1.0 bar cad avec $x_1 = 0.85$, le résidu B_1 est la butanone.
- 12. Dans la colonne 2 le **distillat D₂ est le nouvel homoazéotrope sous P=0.1bar avec x₁ = 0.67** (\bullet qui a changé de composition), le résidu **B₂ est le méthanol**. L'intérêt de cette installation est donc que l'on a pu ainsi obtenir d'un côté le méthanol, de l'autre côté la butanone, ce qui n'est pas possible par une distillation fractionnée ordinaire : on joue ici sur le fait que à P = 0,1 bar, on est passé de l'autre côté de l'homoazéotrope.
 - 13. Conservation de la matière globale : $D_1 = B_2 + D_2$

PC Page 1 sur 10

Conservation du méthanol : $D_1x_{D1} = D_2x_{D2} + B_2x_{B2}$

$$B_2 = D_1 - D_2 = 58,3 \text{ kmol.h}^{-1} \text{ et } \mathbf{x}_{B2} = \frac{D_1 x_{D1} - D_2 x_{D2}}{B_2} = 0,98$$

14. Conservation globale : $A + D_2 = D_1 + B_1$

Conservation du méthanol : $Az_A + D_2x_{D2} = D_1x_{D1} + B_1x_{B1}$

B₁ = A + D₂ - D₁ = **41,7 kmol.h**⁻¹ et
$$\mathbf{x}_{B1} = \frac{Az_A + D_2x_{D2} - D_1x_{D1}}{B_1} = \mathbf{0,02}$$

On a donc une très bonne séparation.

Partie 2 : Synthèse du (±)-2-thiocyanatoneopupukeanane (Mines Pont 2016)

- 15. Le groupement thiocyanato- est porté par un atome différent de la chaine carbonée principale. Ces deux molécules sont donc des **isomères (de constitution) de position**.
- 16. (–) signifie que cette molécule est <u>lévogyre</u>, c'est-à-dire que son pouvoir rotatoire spécifique [α]_D < 0
 : elle dévie le plan de polarisation de la lumière <u>vers la gauche</u> pour un examinateur <u>recevant la lumière</u>.
- 17. Les atomes de carbone stéréogènes sont : C1, C2, C3, C6, C7 et C9.
- 18. On utilise les règles séquentielles de Cahn, Ingold et Prelog afin de classer les substituants du C* :

$$C_{2} - \begin{bmatrix} C_{3} & C_{7} & C_{4} & C_{1} & C_{1} & C_{2} & C_{3} & \mathbf{b} \\ C_{1} & C_{2} & C_{3} & \mathbf{d} & C_{2} & \mathbf{c} \\ C_{1} & C_{10} & C_{10} & C_{10} & C_{2} & \mathbf{c} \\ C_{1} & C_{2} & C_{3} & \mathbf{b} & C_{2} & \mathbf{c} \\ C_{1} & C_{2} & C_{3} & \mathbf{b} & C_{2} & \mathbf{c} \\ C_{2} & C_{3} & \mathbf{c} & \mathbf{c} & \mathbf{c} \\ C_{1} & C_{2} & C_{3} & \mathbf{c} \\ C_{2} & C_{3} & \mathbf{c} & \mathbf{c} \\ C_{2} & C_{3} & \mathbf{c} & \mathbf{c} \\ C_{3} & C_{3} & \mathbf{c} & \mathbf{c} \\ C_{2} & C_{3} & \mathbf{c} \\ C_{3} & C_{3} & \mathbf{c} \\ C_{4} & C_{5} & C_{5} & \mathbf{c} \\ C_{5} & C_{5} & C_{5} & C_{5} & \mathbf{c} \\ C_{5} & C_{5} & C_{5} & C_{5} & \mathbf{c} \\ C_{5} & C_{5} & C_{5} & C_{5} & \mathbf{c} \\ C_{5} & C_{5} & C_{5} & C_{5} & \mathbf{c} \\ C_{5} & C_{5} & C_{5} & C_{5} & C_{5} & \mathbf{c} \\ C_{5} & C_{5} & C_{5} & C_{5} & C_{5} & C_{5} & \mathbf{c} \\ C_{5} & C_{5} \\ C_{5} & C_{5} \\ C_{5} & C_{$$

La configuration absolue de C_2^* est (R).

- 19. Il s'agit d'une cycloaddition de DIELS-ALDER.
- 20. Sous <u>contrôle thermodynamique</u>, l'isomérisation du diène non conjugué <u>A</u> en <u>diène conjugué <u>A'</u> est favorable car ce dernier est plus stable.</u>
- 21. On applique le th. de Fukui

IFP : L'interaction frontalière prépondérante a lieu entre HO du diène (Ψ_5 '') et BV du diénophile (Ψ_4)). On considére l'interaction HO/BV de différence d'énergie minimale :

$$\Delta E(HO_{A''}/BV_B) = -0.87\beta < \Delta E(HO_B/BV_{A''}) = -1.57\beta$$

(on retrouve le fait que A" est enrichi en e- (-OCH₃ et CH₃ sont +M), il joue donc le rôle de Nu et intervient avec sa HO, et inversement C≡N étant –M appauvrit B qui joue donc le rôle d'électrophile et intervient avec sa BV)

La régiosélectivité est dictée le <u>principe de recouvrement maximum</u>. Cela a lieu si l'approche permet une interaction optimale de l'atome 4 de A" (là où la HO est la plus développée) et de l'atome 1 de B (là où la BV est la plus développée). Cette approche conduit donc au régioisomère principal sous contrôle frontalier, à savoir le composé suivant, qui n'est autre que la modélisation de <u>C</u>, produit principal obtenu expérimentalement :

22. On obtient potentiellement quatre stéréoisomères, notés (a), (b), (c), (d), car la réaction suit une <u>diastéréospécificité Synaddition</u> du diène sur le diénophile (voir exemple d'approche *supra-supra* ci-dessous) :

PC Page 2 sur 10

23. Ces quatre stéréoisomères forment deux couples d'énantiomères : ((a),(d)) et ((b),(c)). Au sein de chaque couple, les deux énantiomères formés sont issus d'approches énergétiquement équivalentes, le diénophile approchant le diène par l'une ou l'autre de ses faces de façon équiprobable ; ils sont donc formés en quantité égale. On obtient ainsi un mélange doublement racémique de ces deux couples d'énantiomères, qui est optiquement inactif.

Une autre façon de le dire est que cette réaction est diastéréospécifique et diastéréosélective mais **non énantiosélective** : les énantiomères sont produits en quantité égale (pour les raisons ci-dessus), donc le mélange est racémique donc optiquement inactif.

- 24. Le THF et le HMPT sont des solvants polaires et aprotiques.
- 25. A 78 °C, **une solution dans le HMPT**, dont la température de solidification est de 7,2 °C, **serait solide**. Cela empêcherait l'agitation et l'homogénéisation du milieu ainsi que la réaction.
- 26. La forte polarisation de la liaison phosphore → oxygène (effet inductif) est renforcée par les effets mésomères donneurs des groupements diméthylamino-, ce qui explique l'importance du moment dipolaire permanent du HMPT, de géométrie tétraédrique autour de l'atome de phosphore (VSEPR : AX₄) :

27. On assiste à une réaction de simple ou double C-alkylation d'énolate :

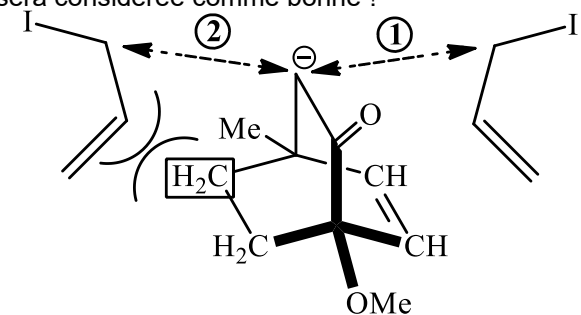
$$\begin{array}{c} OMe \\ \hline \\ H \\ \hline \\ H \\ \end{array} \begin{array}{c} OMe \\ \hline \\ Pr \\ \hline \\ Pr \\ \end{array} \begin{array}{c} OMe \\ \hline \\ \hline \\ Pr_2NH \\ \hline \\ \hline \\ \hline \\ -I^{-} \end{array} \begin{array}{c} OMe \\ \hline \\ \hline \\ \hline \\ -I^{-} \end{array} \begin{array}{c} OMe \\ \hline \\ \hline \\ \hline \\ -I^{-} \end{array}$$

$$\begin{array}{c} OMe \\ \hline \\ OMe \\ \hline \\ IPr \\ \hline \\ IPr \\ \hline \\ IPr \\ \hline \end{array}$$

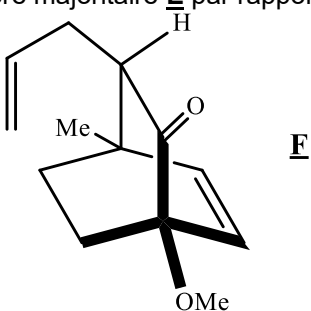
PC Page 3 sur 10

La 2^{ième} étape de S_N peut être une S_N1, favorisée car le C+ est stabilisé par effet +M de l'alcène et S_N2 favorisée car le solvant est aprotique. Toute réponse bien argumentée sera considérée comme bonne !

28. Sur la vue arrière en représentation type « sphères de Van der Waals », on observe plus ou moins clairement que l'approche de l'énolate par le 3-iodopropène est favorisée selon la géométrie 1, par rapport à la géométrie 2, plus difficile sous contrôle cinétique stérique; en effet, le groupement —CH2— génère une gêne stérique plus importante que le groupement —CH= à l'approche :



Cela conduit à l'obtention du stéréoisomère majoritaire **E** par rapport à **F** :



Rmq: la vue est trompeuse de l'énoncé car on a l'impression que c'est le -CH3 qui pose problème...

- 29. Lors de la seconde étape de reprotonation de l'énolate <u>E</u>, qui se déroule à basse température, on est vraisemblablement sous <u>contrôle cinétique</u>. On ne peut pas être sous contrôle thermodynamique, puisque c'est <u>F</u>, moins stable que <u>E</u>, qui est obtenu majoritairement : la gêne stérique entre le groupement allyle _CH₂—CH=CH₂ est plus importante avec le groupement _CH₂— (dans <u>F</u>) qu'avec le groupement _CH= (dans <u>E</u>) (*cf.* question 29).
- 30. L'énolate du malonate de diéthyle est davantage stabilisé par conjugaison que celui issu de $\underline{\mathbf{E}}$, d'où une acidité plus forte des protons en α des deux groupements -M carbonyle dans ce premier composé :

$$\left\{
\begin{array}{c|c}
\bullet & \bullet \\
EtO
\end{array}
\right.$$

$$\begin{array}{c|c}
\bullet & \bullet \\
EtO
\end{array}
\right.$$

Ceci garantit d'ailleurs que la seconde étape est quantitative.

31.

EtOOC H COOEt

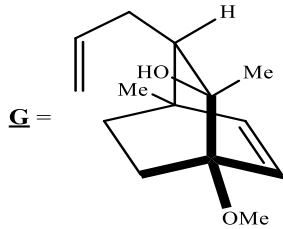
H COOEt

$$H_{2}C$$
 $H_{2}C$
 $H_{2}C$

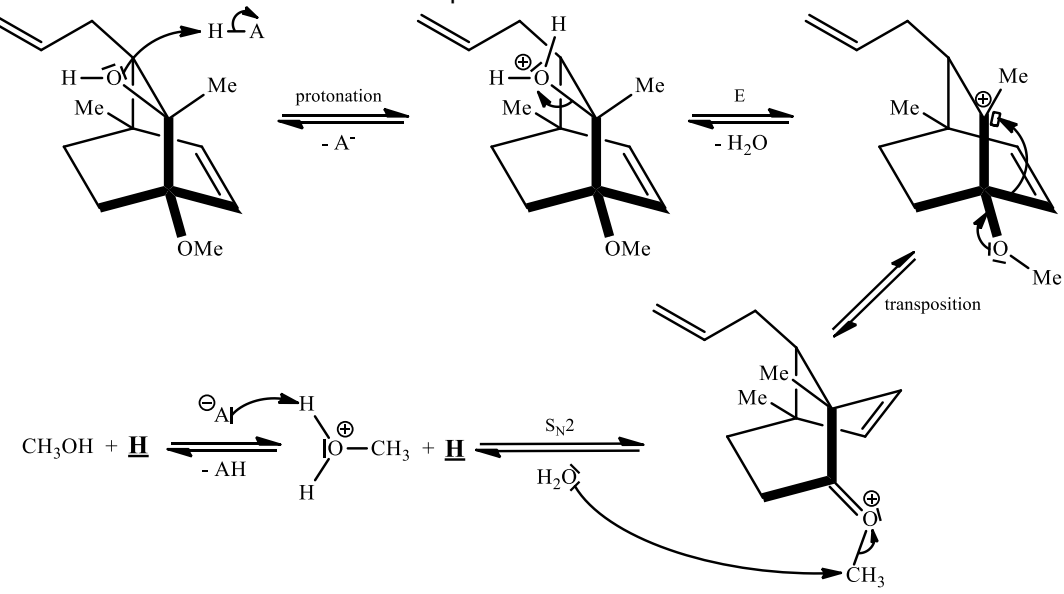
L'approche 1 du malonate de diéthyle (jouant le rôle d'acide encombré) est plus favorable que l'approche 2 sous **contrôle cinétique stérique** (*cf.* questions précédentes), conduisant à la reprotonation stéréosélective de l'énolate en composé **F** majoritaire.

32. On obtient un **alcool tertiaire**, dont on représente ci-dessous le stéréoisomère obtenu majoritairement *a priori* sous contrôle stérique (issu de l'approche la plus favorable entre l'organomagnésien et la cétone).

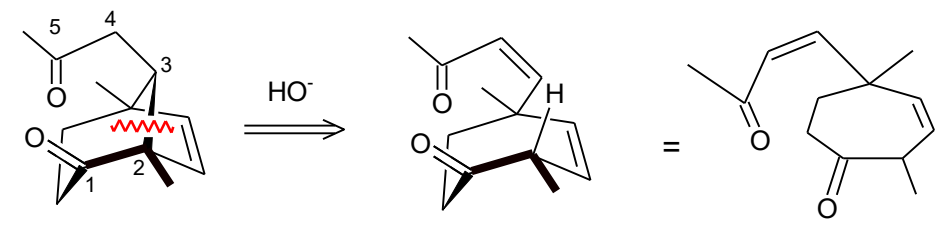
PC Page 4 sur 10



33. L'activation électrophile de la fonction alcool est suivie de l'élimination d'eau, générant un carbocation qui se réarrange de façon similaire au cas du diol vicinal (document 2), grâce à la présence du groupement méthoxy- voisin. La formation de la fonction cétone est enfin issue d'une réaction de S_N2 de l'eau sur l'intermédiaire carbocationique formé.

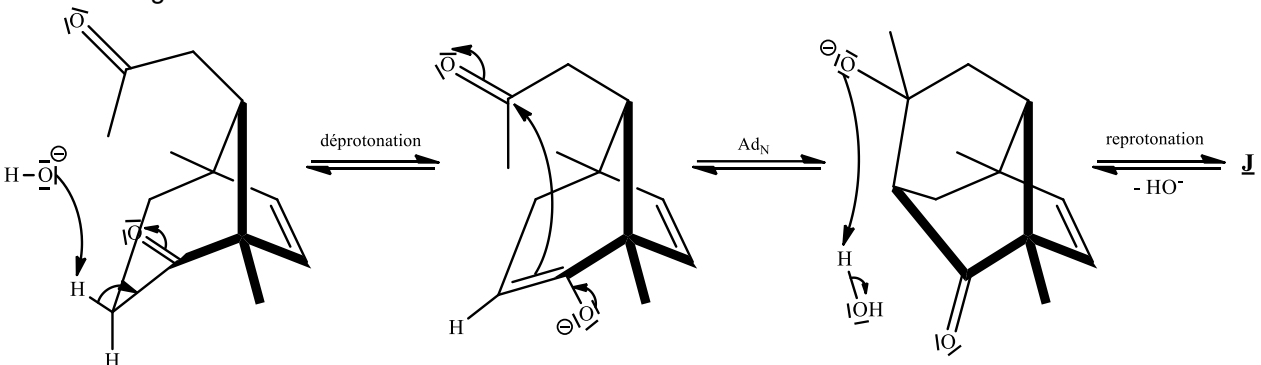


34. Le composé l est un composé 1,5 dicarbonylé ⇒ on propose une réaction de Michael intramoléculaire (puisque l'énoncé nous impose une seule molécule organique), selon :



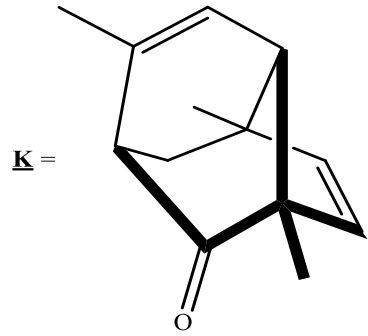
On cherche à former l'énolate thermodynamique (ici conjugué avec la C=C et accessoirement le plus substitué), de plus le produit formé est le plus stable puisque le cycle formé est à 6 atomes. Donc on choisit **HO**⁻ **comme base**.

35. Il s'agit d'une aldolisation croisée intramoléculaire :

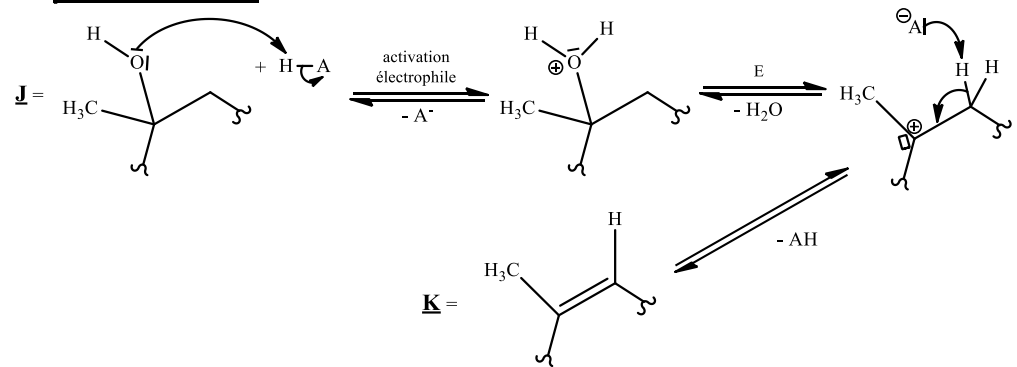


36. <u>K</u> est issu d'une réaction de déshydratation intramoléculaire de l'alcool tertiaire, comme le montre la perte de H₂O (voir formule brute). D'après la règle de Bredt (dont le nom n'est pas à connaitre mais ça fait classe), on ne forme pas la liaison C=C en tête de pont (la tension de cycle serait trop élevée) :

PC Page 5 sur 10



La déshydratation de alcool tertiaire, suivant une activation électrophile en milieu acide, se déroule selon un mécanisme de β -élimination E1 :



Le montage de DEAN-STARK permet d'éliminer le sous-produit H₂O par distillation hétéroazéotropique en continu du mélange réactionnel ; cela entraine le déplacement de l'équilibre de déshydratation vers les **produits** (**K** et H₂O) : la réaction est quantitative.

Centrale 2024

37. Posons : $n_0 = 0.10$ mmol la quantité initiale d'ibuprofène racémique, $n_{I(R)}^0 = n_{I(R)}^0 = \frac{n_0}{2}$ celle de ses deux énantiomères et $n_{\mathrm{I}(R)}^{\mathrm{f}},\,n_{\mathrm{I}(S)}^{\mathrm{f}},\,n_{\mathrm{ester}(R)}^{\mathrm{f}}$ et $n_{\mathrm{ester}(S)}^{\mathrm{f}}$ les quantités de matière des ibuprofènes et de leurs esters en fin de réaction. Par conservation de la matière :

$$\begin{cases} n_{\text{I}(R)}^0 = \frac{n_0}{2} = n_{\text{I}(R)}^f + n_{\text{ester}(R)}^f \\ n_{\text{I}(S)}^0 = \frac{n_0}{2} = n_{\text{I}(S)}^f + n_{\text{ester}(S)}^f \end{cases} \\ \Rightarrow \begin{cases} n_{\text{I}(R)}^f = \frac{n_0}{2} - n_{\text{ester}(R)}^f \\ n_{\text{I}(S)}^f = \frac{n_0}{2} - n_{\text{ester}(S)}^f \end{cases} \\ \\ n_{\text{I}(S)}^f = \frac{n_0}{2} - n_{\text{ester}(S)}^f \end{cases} \\ \\ \text{AN} : \begin{cases} n_{\text{I}(R)}^f \approx \textbf{0}, \textbf{040 mmol} \\ n_{\text{I}(S)}^f \approx \textbf{0}, \textbf{010 mmol} \end{cases}$$

38. En fin d'estérification :
$$\begin{cases} ee = \frac{n_{I(R)}^f - n_{I(S)}^f}{n_{I(R)}^f + n_{I(S)}^f} \\ \tau = 1 - \frac{n_{I(R)}^f + n_{I(S)}^f}{n_{S}^f} \end{cases}$$

$$\underbrace{\frac{AN}{\tau} : \begin{cases} ee \approx 60 \% \\ \tau \approx 50 \% \end{cases}}_{P_S}$$

39. On suppose qu'on est sous contrôle cinétique (réactions non renversables). D'après la loi de Van't

$$\begin{cases} -\frac{\operatorname{d}[R]}{\operatorname{d}t} = k_R [R] \\ -\frac{\operatorname{d}[S]}{\operatorname{d}t} = k_S [S] \end{cases} \Rightarrow \begin{cases} -\frac{\operatorname{d}[R]}{[R]} = k_R \operatorname{d}t \\ -\frac{\operatorname{d}[S]}{[S]} = k_S \operatorname{d}t \end{cases} \Rightarrow \begin{cases} \int_{[R]_0 = \frac{C_0}{2}}^{[R]_f} -\frac{\operatorname{d}[R]}{[R]} = \int_{t=0}^{t_f} k_R \operatorname{d}t \\ \int_{[S]_0 = \frac{C_0}{2}}^{[S]} -\frac{\operatorname{d}[S]}{[S]} = \int_{t=0}^{t_f} k_S \operatorname{d}t \end{cases} \Rightarrow \begin{cases} \ln\left(\frac{[R]_f}{\frac{C_0}{2}}\right) = -k_R t_f \\ \ln\left(\frac{[S]_f}{\frac{C_0}{2}}\right) = -k_S t_f \end{cases}$$

$$\underset{[R]_0 = [S]_0}{\Longrightarrow} \frac{\ln([R]_f/(C_0/2))}{\ln([S]_f/(C_0/2))} = \frac{k_S}{k_R} = S \qquad (a)$$

 $\underset{[R]_{0}=[S]_{0}}{\Longrightarrow} \frac{\ln([R]_{f}/(C_{0}/2))}{\ln([S]_{f}/(C_{0}/2))} = \frac{k_{S}}{k_{R}} = s \quad (a)$ $[R]_{f} + [S]_{f} = C_{0} \cdot (1 - \tau) (b)$ $[R]_{f} - [S]_{f} = C_{0} \cdot (1 - \tau) \cdot ee$ (c)

 $\begin{aligned} &\text{En posant } C_0 = [R]_0 + [S]_0: & [R]_f + [S]_f = C_0 \cdot (1-\tau) \, (b) \\ &\text{De plus}: & ee = \frac{[R]_f - [S]_f}{[R]_f + [S]_f} = \frac{[R]_f - [S]_f}{C_0 \cdot (1-\tau)} & \text{donc}: & [R]_f - [S]_f \\ &\text{Ainsi}: & \begin{cases} \frac{(b) + (c)}{2}: [R]_f = \frac{C_0}{2} \cdot (1-\tau) \cdot (1+ee) \\ \frac{(b) - (c)}{2}: [S]_f = \frac{C_0}{2} \cdot (1-\tau) \cdot (1-ee) \end{cases} \underset{(a)}{\Longrightarrow} s = \frac{\ln[(1-\tau)(1-ee)]}{\ln[(1-\tau)(1+ee)]} \end{aligned}$

La réaction avec S est 7.2 fois plus rapide qu'avec le R.

PC Page 6 sur 10

Partie IV: ENS BCPST 2020

40. RCI + NapH = NapR + HCI

AlCl₃ joue le rôle de catalyseur car il est consommé puis reformé au cours de la réaction (à l'inverse un IR est formé puis consommé).

L'élément aluminium joue le rôle d'acide de Lewis, électrophile, car il interagit avec le chlore base de Lewis du dérivé halogéné.

41.
$$v_1 = k_1[RCl][AlCl_3]$$
 $v_{-1} = k_{-1}[RClAlCl_3]$ $v_2 = k_2[RClAlCl_3][NapH]$ $v_3 = k_3[AlCl_4^-][NapHR^+]$

Vitesse globale : vitesse de formation de NapR : $v = v_3$

42. On applique l'AEQS à NapHR+ car c'est un carbocation très réactif.

$$\frac{d[NapHR^+]}{dt} = 0 = v_2 - v_{-2} - v_3 \approx v_2 - v_3$$

D'où $v_2 = v_3$, c'est-à-dire $k_2[RClAlCl_3][NapH] = k_3[AlCl_4^-][NapHR^+]$

$$[NapHR^+] = \frac{k_2[RClAlCl_3][NapH]}{k_3[AlCl_4^-]}$$

43. (i)
$$\Rightarrow v_1 = v_{-1}$$
. Ainsi, $k_1[RCl][AlCl_3] = k_{-1}[RClAlCl_3]$

44.
$$v = v_3 = v_2 = k_2[RClAlCl_3][NapH]$$

44.
$$v = v_3 = v_2 = k_2[RClAlCl_3][NapH]$$
Or, $[RClAlCl_3] = \frac{k_1[RCl][AlCl_3]}{k_{-1}}$, d'où $v = \frac{k_1k_2}{k_{-1}}[RCl][AlCl_3][NapH]$

Les ordres partiels sont 1 pour chaque espèce. L'ordre global est 3.

45. On utilise dans:

- Les exp 1 et 2 : la méthode de la dégénérescence de l'ordre car un des 2 réactifs est en large défaut, qui donne accès à l'ordre partiel du composé en défaut (la concentration en catalyseur est constante)
- Les exp 3 à 8 : la méthode des proportions stœchiométriques qui donne accès à l'ordre global, puis la méthode des temps de demi-réaction.

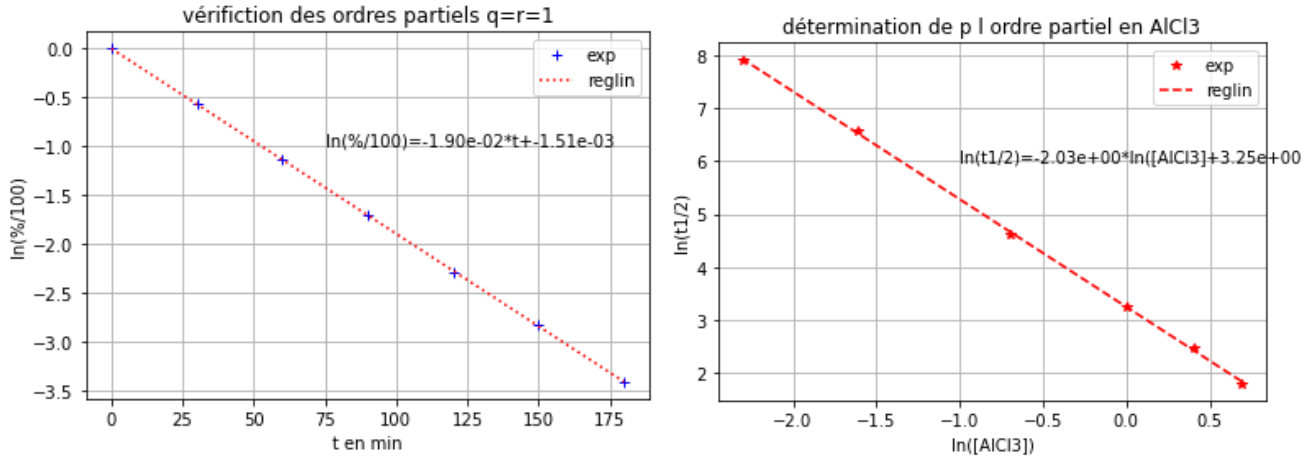
46. • Exp 1 et 2:

On remarque que les résultats sont identiques dans les 2 expériences ce qui montre que les ordres partiels des réactifs limitants sont identiques cad pour NapH et RCI.

Mise en équation exp 1 : $v_1 = k \times [AlCl_3]^p [RCl]^q [NapH]^r = kapp_1 [RCl]^q$ avec $kapp_1 = k \times [AlCl_3]_0^p [NapH]_0^r$ $\mathsf{Exp}\ 2: v_2 = k \times [\mathit{AlCl}_3]^p[\mathit{RCl}]^q[\mathit{NapH}]^r = kapp_2[\mathit{NapH}]^r \ \mathsf{avec}\ kapp_2 = k \times [\mathit{AlCl}_3]_0^p[\mathit{RCl}]_0^q$ Supposons q=r=1

On a alors pour exp 1 $v_1=-\frac{d[RCl]}{dt}=kapp_1[RCl]^1\Rightarrow \ln\left([RCl]/[RCl]_0\right)=\ln\left(\%/100\right)=-kapp_1t$

On cherche donc par régression linéaire ln(%/100) =f(t)



On en conclue que la courbe est bien une droite qui passe par l'origine (oo négligeable) ⇒ l'ordre 1 est confirmé pour RCI et NapH

Et kapp₁ = kapp₂ = 0.0190 min^{-1} et q=r=1

$$\forall i \in [3.8] \ v_i = k \times [AlCl_3]_i^{\ p} [RCl]^1 [NapH]^1 = kapp_i [RCl]^2 = -\frac{d[RCl]}{dt} \text{ avec } kapp_i = k \times [AlCl_3]_{0,i}^{\ p} [RCl]^2 = -\frac{d[RCl]}{dt} \text{ avec } kapp_i = k \times [AlCl_3]_{0,i}^{\ p} [RCl]^2 = -\frac{d[RCl]}{dt} \text{ avec } kapp_i = k \times [AlCl_3]_{0,i}^{\ p} [RCl]^2 = -\frac{d[RCl]}{dt} \text{ avec } kapp_i = k \times [AlCl_3]_{0,i}^{\ p} [RCl]^2 = -\frac{d[RCl]}{dt} \text{ avec } kapp_i = k \times [AlCl_3]_{0,i}^{\ p} [RCl]^2 = -\frac{d[RCl]}{dt} \text{ avec } kapp_i = k \times [AlCl_3]_{0,i}^{\ p} [RCl]^2 = -\frac{d[RCl]}{dt} \text{ avec } kapp_i = k \times [AlCl_3]_{0,i}^{\ p} [RCl]^2 = -\frac{d[RCl]}{dt} \text{ avec } kapp_i = k \times [AlCl_3]_{0,i}^{\ p} [RCl]^2 = -\frac{d[RCl]}{dt} \text{ avec } kapp_i = k \times [AlCl_3]_{0,i}^{\ p} [RCl]^2 = -\frac{d[RCl]}{dt} \text{ avec } kapp_i = k \times [AlCl_3]_{0,i}^{\ p} [RCl]^2 = -\frac{d[RCl]}{dt} \text{ avec } kapp_i = k \times [AlCl_3]_{0,i}^{\ p} [RCl]^2 = -\frac{d[RCl]}{dt} \text{ avec } kapp_i = k \times [AlCl_3]_{0,i}^{\ p} [RCl]^2 = -\frac{d[RCl]}{dt} \text{ avec } kapp_i = k \times [AlCl_3]_{0,i}^{\ p} [RCl]^2 = -\frac{d[RCl]}{dt} \text{ avec } kapp_i = k \times [AlCl_3]_{0,i}^{\ p} [RCl]^2 = -\frac{d[RCl]}{dt} \text{ avec } kapp_i = k \times [AlCl_3]_{0,i}^{\ p} [RCl]^2 = -\frac{d[RCl]}{dt} \text{ avec } kapp_i = k \times [AlCl_3]_{0,i}^{\ p} [RCl]^2 = -\frac{d[RCl]}{dt} \text{ avec } kapp_i = k \times [AlCl_3]_{0,i}^{\ p} [RCl]^2 = -\frac{d[RCl]}{dt} \text{ avec } kapp_i = k \times [AlCl_3]_{0,i}^{\ p} [RCl]^2 = -\frac{d[RCl]}{dt} \text{ avec } kapp_i = k \times [AlCl_3]_{0,i}^{\ p} [RCl]^2 = -\frac{d[RCl]}{dt} \text{ avec } kapp_i = k \times [AlCl_3]_{0,i}^{\ p} [RCl]^2 = -\frac{d[RCl]}{dt} \text{ avec } kapp_i = k \times [AlCl_3]_{0,i}^{\ p} [RCl]^2 = -\frac{d[RCl]}{dt} \text{ avec } kapp_i = k \times [AlCl_3]_{0,i}^{\ p} [RCl]^2 = -\frac{d[RCl]}{dt} \text{ avec } kapp_i = k \times [AlCl_3]_{0,i}^{\ p} [RCl]^2 = -\frac{d[RCl]}{dt} \text{ avec } kapp_i = k \times [AlCl_3]_{0,i}^{\ p} [RCl]^2 = -\frac{d[RCl]}{dt} \text{ avec } kapp_i = k \times [AlCl]_{0,i}^{\ p} [RCl]^2 = -\frac{d[RCl]}{dt} \text{ avec } kapp_i = k \times [AlCl]_{0,i}^{\ p} [RCl]_{0,i}^{\ p} = -\frac{d[RCl]}{dt} \text{ avec } kapp_i = k \times [AlCl]_{0,i}^{\ p} = -\frac{d[RCl]}{dt} \text{ avec } kapp_i = k \times [AlCl]_{0,i}^{\ p} = -\frac{d[RCl]}{dt} \text{ avec } kapp_i = k \times [AlCl]_{0,i$$

Alors
$$\frac{1}{[RCl]} - \frac{1}{[RCl]_0} = kapp_i t$$

Or à
$$t_{1/2}$$
 [RCl] = $\frac{[RCl]_0}{2}$, alors $\frac{2}{[RCl]_0} - \frac{1}{[RCl]_0} = \frac{1}{[RCl]_0} = kapp_i \times t_{i,1/2} \Rightarrow t_{i,1/2} = \frac{1}{kapp_i \times [RCl]_0} = \frac{1}{k \times [AlCl_3]_i^p \times [RCl]_0}$

Ou encore $\ln(t_{i,1/2}) = -\ln(k \times [RCl]_0) + p \times \ln([AlCl_3]_{0,i})$

On trace donc $In(t_{i,1/2})=f([AlCl_3]_{0,i})$ (cf. ci-dessus), on trouve $In(t_{i,1/2})=2.03\times[AlCl_3]_{0,i}+3.25$

PC Page 7 sur 10 \Rightarrow l'ordre partiel p p/r à AlCl₃ vaut 2. Et k=exp(-oo)/[RCl]₀ = 0.0194 L².mol⁻².min⁻¹

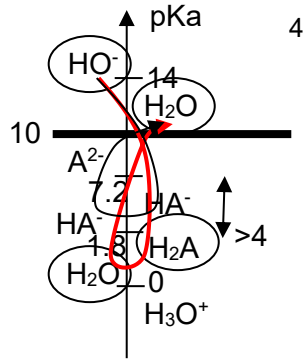
Ce que confirme les exp 1 et 2 ou kapp= $k \times [AlCl_3]_0^2 [NapH]_0^1 = 0.0190 \ min^{-1} \Rightarrow k = 0.0190 \ L^2.mol^{-2}.min^{-1} \Rightarrow finalement <math>v = 0.19 \times [AlCl_3]^2 [RCl]^1 [NapH]^1$

Le modèle cinétique est donc incohérent avec les valeurs expérimentales : le mécanisme proposé n'est pas le bon !

```
47.
 8
       #1- importation des bibliothèques
 9
        import matplotlib.pyplot as plt
10
       import numpy as np
11
12
       #2- données de l'énoncé
       pourcent=[100,57,32,18,10,5.9,3.3]
13
       t=[0,30,60,90,120,150,180]
14
15
16
        # 3- calcul
       lnpourcent=np.log(np.array(pourcent)/100)
17
        reglin=np.polyfit(t,lnpourcent,1)
18
19
       #4- tracé des courbes et affichage des résultats
plt.plot(t,lnpourcent,'+b', label='exp') #trace les points exp
plt.plot(t, np.polyval(reglin,t),':r',label='reglin') # trace la droite de régression
20
21
22
       plt.legend()
23
       plt.xlabel('t_en_min')
plt.ylabel('ln(%/100)')
24
25
       plt.title('vérifiction des ordres partiels q=r=1')
26
       plt.text(75,-1,"ln(%/100)={:.2e}*t+{:.2e}".format(reglin[0],reglin[1]))
27
       plt.grid() #parce que c'est plus joli
28
       plt.show()
```

En jaune les réponses demandées, en bleu les compléments pour que les axes soient bien légendés.

Partie I: (MIX AGRO-VETO TB + ESIM)



- 48. Pour un dosage pH-métrique, il faut 2 électrodes :
 - une électrode de verre dont le potentiel est proportionnel au pH
 - une <u>électrode de référence</u> de potentiel connu, telle que l'ECS : l'électrode au calomel saturée.

Ces 2 électrodes peuvent être rassemblée en 1 appelée <u>électrode de verre combinée</u>.

- 49. <u>ΔpKa >4 ⇒ dosage des 2 acidités successivement</u>. Déterminons Veq₁ et Veq₂ grace aux relations aux équivalences
- Entre 0 et Veq₁: $H_2SO_3 + OH^- \rightarrow HSO_3^- + H_2O$
 - \Rightarrow C₀V₀=CVeq₁ \Rightarrow Veq₁=10 mL
- Entre Veq₁ et Veq₂: HSO₃⁻ + OH⁻ → SO₃²⁻ + H₂O
- \Rightarrow C₀V₀=C(Veq₂ Veq₁) \Rightarrow Veq₂=20 mL

Rmq : comme on dose 2 acidités d'un même acide, on a nécessaireent <u>Veq₂= 2 Veq₁</u>.

V=0 mL : on a que H₂SO₃

$$H_2SO_3 + H_2O \leftrightarrows HSO_3^- + H_3O^+ K=Ka_1=10^{-1.8} < 1 \Longrightarrow EC$$
EL C₀ excès 0 0

EI C_0 excès 0 0 EF C_0 -h excès h h EFH $\approx C_0$ ex ϵ

EF_H ≈C₀ ex ε ε H : réaction peu avancée : Ka₁=ε²/C₀ ⇒ ε = $\sqrt{Ka_1C_0}$ =10-1.9 mol/L

 \Rightarrow pH= - loge = 1.9

Vérification des H:

pH < pKa1 − 1 ⇒ FAUX !!! l'EC n'est pas peu avancé

⇒ On doit résoudre le polynôme du 2nd degré

D'où Ka₁= $h^2/(C_0-h) \Rightarrow h=6.95 \ 10^{-3} \ mol.L^{-1}$, d'où pH=2.2

Vérification des H:

pH<6.5 ⇒ APE négligeable

pH<pKa₂-1 ⇒ 2ième acidité négligeable

D'où pH(V=0mL)=2.2

• $V=2V_{eq,1}$, la solution contient C_0 de SO_3^2 puisqu'on est à la fin des 2 titrages

$$SO_3^{2-} + H_2O \leftrightarrows HSO_3^{-} + OH^{-} K=Ke/Ka2=10^{-6.8} < 1 \Longrightarrow EC$$

pKa

JH₂C

AH-

H₃O⁴

⊾bKa

14

7.2

AH-<u></u> 1.8

H₂Q[™]

AH-

H₂A

H₃O⁺

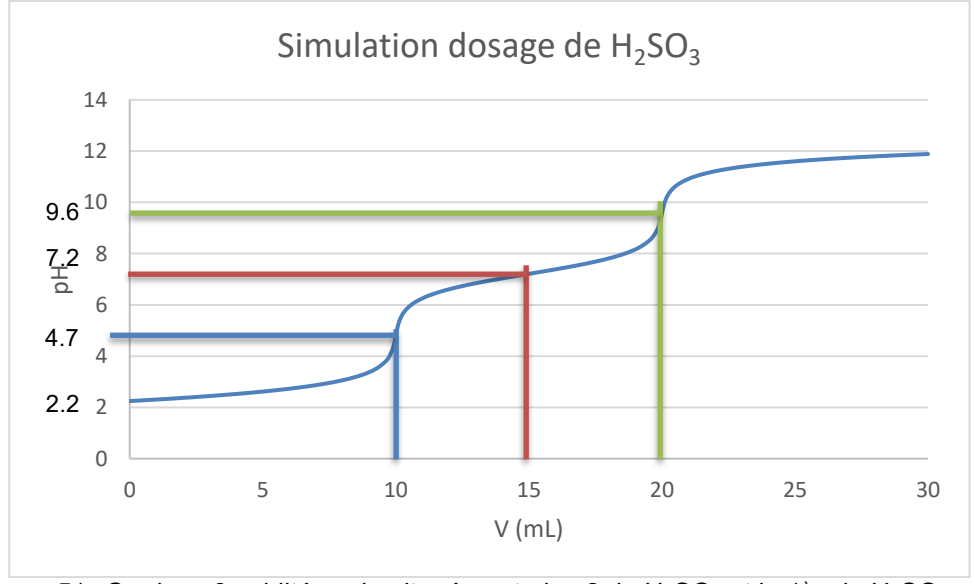
HO- 14

7.2

1.8

EF_H ≈C₀ Ex $K = \varepsilon^2/C_0 \Rightarrow \varepsilon = \sqrt{KC_0} = 10^{-4.4} \text{ mol/L}$ \Rightarrow pH= 14 + log ϵ = 9.6 Vérification des H: pH > pKa₂ + 1 ⇒ l'EC est bien peu avancé pH > pKa₁ + 1 ⇒ la 1iere acidité est négligeable pH > 7.5 ⇒ l'APE est négligeable D'où pH(2V_{eq,1})=9.6

- Asymptote pour $V \rightarrow + \infty$ [HO-] \rightarrow 0.1 mol/L \Rightarrow pH=13
- A la $\frac{1}{2}$ 2^{ème} équivalence cad pour V=15 mL pH=pKa₂ = 7.2



51. On dose 3 aciditées simultanément : les 2 de H₂SO₄ et la 1ère de H₂SO_{3.} Comme H₂SO₄ a sa 1ère acidité forte, il n'existe pas dans l'eu et est complètement dissocié selon

 $H_2SO_4 + H_2O \rightarrow HSO_4^- + H_3O^+$ ΕI Ex C_2 EF 0 Ex C_2 C_2

Entre 0 et V_{eq,1}:

 $H_3O^+ + OH^- \rightarrow 2 H_2O$ $K=10^{14}$ $H_2SO_3 + OH^- \rightarrow HSO_3^- + H_2O$ $K=10^{12.2}$ $HSO_4^- + HO^- \rightarrow SO_4^{2-} + H_2O$ $K = 10^{12}$

%H₂SO₃ (4) diminue et % HSO₃- (3) augmente

 Entre V_{eq,1} et V_{eq,2}: $HSO_{3}^{-} + OH^{-} \rightarrow SO_{3}^{2-} + H_{2}O$

 $K=10^{6.8}$

%HSO₃- (3) diminue et % SO₃²- (2) augmente 52.

Entre 0 et V_{eq,1}:

 $n_{OH}=2 n_{H2SO4} + n_{H2SO3} \Rightarrow Soit CV_{eq,1} = 2C_2V_0 + C_1V_0$

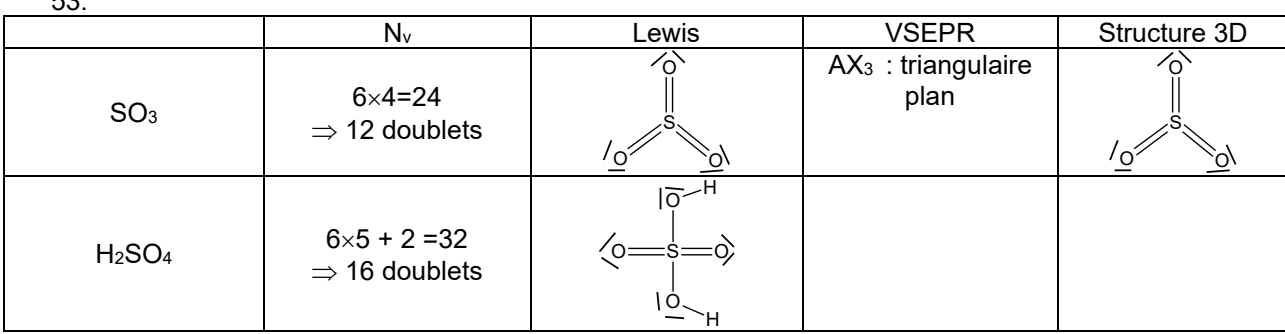
Entre V_{eq,1} et V_{eq,2}:

 $n_{OH-}=n_{HSO3-} \Rightarrow Soit C(V_{eq,2}-V_{eq,1})=C_1V_0$

D'où C₁=6.0 10⁻³ mol.L⁻¹

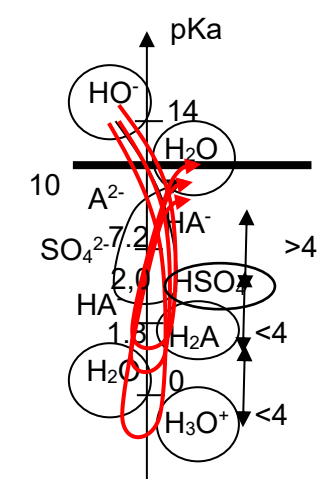
Et C₂=4.0 10⁻³ mol.L⁻¹

53.



54. On lit sur la courbe de titrage Ve=22mL

PC Page 9 sur 10



55. La 1ère acidité est forte : H_2SO_4 est totalement dissociée selon H_2SO_4 + $H_2O \rightarrow HSO_4$ - + H_3O^+ Les 2 acidités sont dosées simultanément (cf. 51.) selon :

- (1) $H_3O^+ + HO^- \rightarrow 2 H_2O$
- (2) $HSO_4^- + HO^- \rightarrow SO_4^{2-}$
- 56. ΔpKa < 4 ⇒ les 2 réactions ont lieu simultanément ⇒ on n'observe qu'1 seul saut.
- 57. relation à l'équivalence : $n_{OH-versé} = n_{H3O+,0} + n_{HSO4-,0} = 2 n_{H2SO4}$

Soit CbVeq=2CV₀ \Rightarrow C=CbVeq/(2V₀) = 0.10×22/(2×100) = 0.011 mol/L

58.
$$(SO_3)_x(H_2SO_4)_y$$
.+ x $H_2O \rightarrow (x+y) H_2SO_4$

Donc **x=2 et y=3**

PC Page 10 sur 10